

661.97: 662.749.2: 662.815: 539.219.3: 541.127.1  
(9) コークスのガス化における炭酸ガスの有効拡散係数

東北大學 遷鉱製錬研究所 ○小林三郎 大森康男

### I 目的

炭酸ガスによるコークスおよび成型コークスのガス化反応速度式を得、ガス化速度の粒子寸法依存性より  $\text{CO}_2$  の粒子内有効拡散係数を得ることを目的とした。

### II 実験

高炉用コークスおよび成型コークスから切り出した厚さ 0.5 ~ 5 mm、約  $30 \times 30$  mm の平板試料を、電気炉で加熱したアルミニウム管（内径 5.0 mm<sup>2</sup>）中に白金線にて天秤から懸垂する。所定温度、 $\text{N}_2$  雰囲気中で試料が恒量に達したのち、 $\text{CO}_2$  (1 atm) を流し、試料の重量減少を測定する。 $\text{CO}_2$  流速は 9.00, 1000, 1100 および 1200°C でそれぞれ 20, 30, 30, 50 Nℓ/min とした。

### III 結果

#### 1) ガス化反応速度式

図 1 において、 $R_M = -(dW/dt)/(12W)$  が代表寸法 L に依存しない領域（化学反応律速）での  $R_M$  の値は化学反応速度  $R_M^0$  を表わす。 $R_M^0$  の温度依存性を図 2 に示す。両炭材に関する直線の勾配は互いに等しく、かつ Turkdogan ら<sup>1)</sup> が得た  $\text{CO}_2 - \text{CO}$  とコークスの反応に関するそれによく一致する。そこで Turkdogan らが与えた速度式  $R_M^0 = k_m p_{\text{CO}_2} / 12 (1 + p_{\text{CO}}/k_0)$  を採用し、 $k_m$  については本実験より得た  $\log k_m = -13200/T + 8.46$  (コークス),  $-13200/T + 8.36$  (成型コークス) を、 $k_0$  については Turkdogan らの式  $\log k_0 = -5940/T + 3.46$  を用いる。

#### 2) $\text{CO}_2$ の有効拡散係数 $D_e$

試料中の  $\text{CO}_2$  の濃度分布に関する式  $d^2y/dx^2 - (dy/dx)^2/(1+y) = \phi^2 (1+y) (y-y_e)/(A-y)$  を境界条件  $x=0$ ;  $dy/dx=0$ ,  $x=1$ ;  $y=1$  で解いて得られるガス化速度が実測値と一致するよう  $\phi$  を定めることにより得た  $D_e$  を表 1 に示す。ここで  $y$  は  $\text{CO}_2$  モル分率、 $y_e$  は Boudouard 平衡値、 $x$  は平板の中心からの無次元距離、 $A=1+k_0/P$ ,  $\phi=L(k/D_e)^{1/2}$ ,  $k=R_g T \rho k_0 k_m / (12 \times 60 P)$ ,  $R_g$  = 気体定数、 $P$  = 全圧、 $T$  = 温度 (°K),  $\rho$  = コークスの密度、 $\epsilon$  = 気孔率、 $D$  = 拡散係数 ( $\text{CO}_2 - \text{CO}$ ) である。成型コークスより気孔率の大きいコークスの方が  $D_e$  は 2 ~ 3 倍大きい。 $D_e/D$  はコークス、成型コークスの場合それぞれ 900 ~ 1100°C では 0.12 ~ 0.2, 0.04 ~ 0.07 とほぼ一定であるが、1200°C ではかなり小さい。これは 1200°C 以上では等温条件が必ずしも成立しないことを示唆している。1) Carbon 8 (1970)

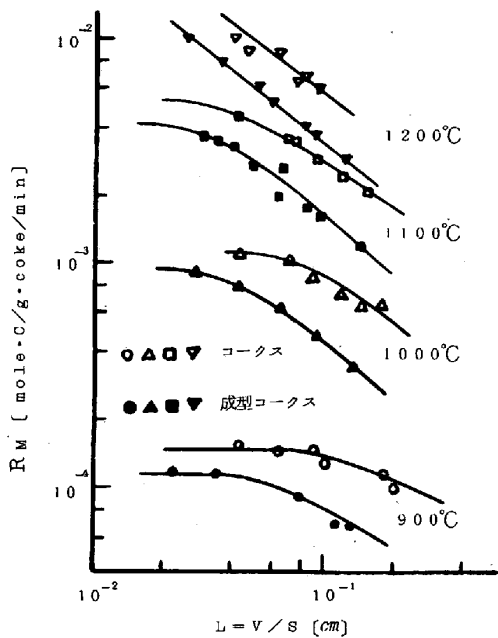


図 1 ガス化速度の試料寸法依存性

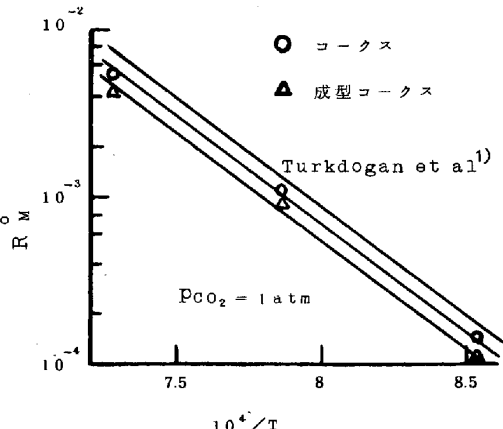


図 2 反応速度の温度依存性

表 1 コークスの有効拡散係数

温度 °C	コークス			成型コークス		
	$\epsilon$	$D_e$	$D_e/D$	$\epsilon$	$D_e$	$D_e/D$
900	0.58	0.16	0.12	0.36	0.053	0.04
1000	0.57	0.28	0.19	0.33	0.10	0.07
1100	0.58	0.27	0.16	0.34	0.084	0.05
1200	0.57	0.07	0.04	0.38	0.044	0.02